

Ідентифікація радіочастотного каналу передачі даних в частотній області на основі рядів Вольтерра

В.Д. Павленко, В.О. Сперанський

Інститут комп'ютерних систем
Одеський національний політехнічний університет
65044, Україна, Одеса, пр. Шевченка, 1
pavlenko_vitalij@mail.ru

Анотація

В роботі представлено ефективну методику експериментальних досліджень неперервного каналу зв'язку телекомунікаційної системи з метою ідентифікації його амплітудно-частотних характеристик (АЧХ) на основі моделей Вольтерра. Методика основана на використанні інтерполяційного методу ідентифікації нелінійної динамічної системи шляхом побудови лінійних комбінацій відгуків системи, що досліджується, на тестові полігармонічні сигнали з різними амплітудами. Розроблені апаратно-програмні засоби, які реалізують методику ідентифікації, використовуються для побудови інформаційної моделі радіочастотного каналу зв'язку УКХ-діапазону у вигляді АЧХ першого та другого порядків.

1. Вступ

Для ефективного використання каналу зв'язку потрібно враховувати технічні умови використання каналу зв'язку (КЗ). Зміни умов під час передавання даних у цифрових КЗ можуть приводити до зниження швидкості аж до повного переривання передачі, а в аналогових КЗ можуть приводити до появи як нелінійних спотворень так і шуму у сигналах, що приймаються.

Було розроблено нові методи та допоміжні засоби, які дозволяють автоматизувати вимірювання та контроль характеристик КЗ. Також вони допомагають побудувати інформаційну модель нелінійного динамічного об'єкту, яким є КЗ. Таким чином вирішується задача ідентифікації.

Метою цієї роботи є ідентифікація неперервного КЗ в частотній області використовуючи модель Вольтерра, а саме визначення його багаточастотних характеристик використовуючи дані експерименту типу «вхід-вихід». Для проведення експерименту використовуються полігармонічні сигнали та інтерполяційний метод для визначення коефіцієнтів моделі.

2. Ідентифікація динамічних систем у частотній області і моделі Вольтерра

У звичайному випадку співвідношення «вхід-вихід» для нелінійної динамічної системи (НДС) може бути представлена за допомогою інтегро-степеневих рядів Вольтерра [2, 3]. У роботі пропонується інтерполяційний метод для ідентифікації НДС, який базується на апараті рядів Вольтерра [4]. В цьому методі для розділення відгуку цієї системи на парціальні складові $\hat{y}_n(t)$ використовується n -кратне диференціювання вихідного

сигналу по параметру-амплітуді A тестових впливів [5]. Якщо на вхід системи подати тестовий сигнал виду $ax(t)$, де $x(t)$ — довільна функція; $|a| \leq 1$ — масштабний коефіцієнт, то для виділення парціальної складової n -го порядку $\hat{y}_n(t)$ з вимірюваного відгуку НДС $y[ax(t)]$ необхідно знайти n -ну частинну похідну відгуку по амплітуді a при $a=0$

$$\hat{y}_n(t) = \int_0^t \dots \int_0^t w_n(\tau_1, \dots, \tau_n) \prod_{r=1}^n x(t - \tau_r) d\tau_r = \left. \frac{1}{n!} \frac{\partial^n y[ax(t)]}{\partial a^n} \right|_{a=0}. \quad (1)$$

Парціальні складові відгуків $\hat{y}_n(t)$ обчислюються за допомогою тестових впливів та процедури (1). На основі цих парціальних складових визначаються діагональний і піддіагональні перетини ядер Вольтерра.

Отримано формули для чисельного диференціювання при використанні центральних різниць для рівновіддалених вузлів

$y_r = y[rhx(t)]$, $r = -r_1, -r_1 + 1, \dots, r_2$ з кроком різничевої сітки по амплітуді $h = \Delta a$. Для визначення ядер Вольтерра першого порядку обчислюється перша похідна при $r_1 = r_2 = 1$ або $r_1 = r_2 = 2$ відповідно

$$y'_0 = y'(0) = \frac{1}{2h} (-y_{-1} + y_1), \quad (2)$$

$$y'_0 = \frac{1}{12h} (y_{-2} - 8y_{-1} + 8y_1 - y_2).$$

Для визначення ядер Вольтерра другого порядку обчислюється друга похідна при $r_1 = r_2 = 1$ або $r_1 = r_2 = 2$, відповідно

$$y''_0 = y''(0) = \frac{1}{h^2} (y_{-1} + y_1), \quad (3)$$

$$y''_0 = \frac{1}{12h^2} (-y_{-2} + 16y_{-1} + 16y_1 - y_2).$$

В таблиці 1 показані амплітуди тестових сигналів $a_{Ni}^{(k)}$, та відповідні до них коефіцієнти $c_{Ni}^{(k)}$, де k — порядок ядра Вольтера, що оцінюється; i — порядковий номер експерименту ($i=1, 2, \dots, N$); N — кількість інтерполяційних вузлів або кількість експериментів ідентифікації.

Таблиця 1: Амплітуди і відповідні їм коефіцієнти для інтерполяційного методу

| Порядок ядра, k | Кількість експериментів, N | $a_1^{(k)}$ | $a_2^{(k)}$ | $a_3^{(k)}$ | $a_4^{(k)}$ | $a_5^{(k)}$ | $a_6^{(k)}$ | $c_1^{(k)}$ | $c_2^{(k)}$ | $c_3^{(k)}$ | $c_4^{(k)}$ | $c_5^{(k)}$ | $c_6^{(k)}$ |
|-------------------|------------------------------|-------------|-------------|-------------|-------------|-------------|-------------|-------------|-------------|-------------|-------------|-------------|-------------|
| 1 | 2 | -1 | 1 | | | | | -0,5 | 0,5 | | | | |
| | 4 | -1 | -0,5 | 0,5 | 1 | | | 0,0833 | -0,6667 | 0,6667 | -0,0833 | | |
| | 6 | -1 | -0,67 | -0,33 | 0,33 | 0,67 | 1 | -0,0167 | 0,15 | -0,75 | 0,75 | -0,15 | 0,0167 |
| 2 | 2 | -1 | 1 | | | | | 1 | 1 | | | | |
| | 4 | -1 | -0,5 | 0,5 | 1 | | | -0,0833 | 1,3333 | 1,3333 | -0,0833 | | |
| | 6 | -1 | -0,67 | -0,33 | 0,33 | 0,67 | 1 | 0,0111 | -0,15 | 1,5 | 1,5 | -0,15 | 0,0111 |

У [6] було показано, що під час визначення багатовимірних передатних функцій нелінійних систем необхідно враховувати обмеження, що накладаються на вибір частот тестового полігармонічного сигналу, які забезпечують нерівність комбінаційних частот у гармоніках вихідного сигналу [7].

Описаний метод було перевірено на нелінійному тестовому об'єкті [8].

Результати процедури ідентифікації у вигляді АЧХ та ФЧХ першого порядку, які були отримані для моделі, з кількістю експериментів $N=4$ (рис. 1).

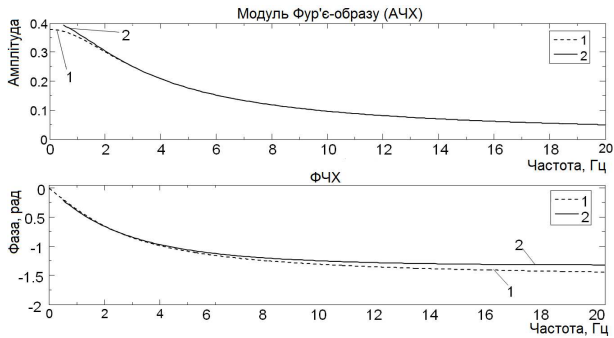


Рисунок 1: АЧХ та ФЧХ першого порядку для тестового об'єкту: еталонні значення, отримані за допомогою аналітичних виразів (1), значення оцінки АЧХ з $N=4$ (2).

Результати процедури ідентифікації у вигляді АЧХ та ФЧХ другого порядку, які були отримані для моделі, з кількістю експериментів $N=2$ та $N=4$ (рис. 2).

3. Методика та апаратно-програмні засоби ідентифікації радіочастотного КЗ

У межах експерименту було виконано дослідження каналу зв'язку УКХ-діапазону. Головною метою була ідентифікація багаточастотних характеристик, які показують нелінійні та динамічні властивості КЗ, для чого було використано модель Вольтерра у вигляді полінома другої степені. Фізичні властивості КЗ характеризуються передатними функціями $W_1(j2\pi f)$ та $W_2(j2\pi f_1, j2\pi f_2)$ – Фур'є-відображеннями вагових функцій $w_1(t)$ та $w_2(t_1, t_2)$.

Метод ідентифікації реалізовано на базі комп'ютера IBM PC за допомогою розробленого програмного забезпечення в середовищі Matlab, що дозволяє забезпечити зручну взаємодію з Multimedia API Windows. Програмні засоби дозволяють: автоматизувати процес формування тестових сигналів із заданими параметрами — амплітудами і частотами; передавати та приймати

сигнали через вихідний і вхідний тракт звукової карти комп'ютера; проводити сегментацію файлу відгуків на фрагменти, відповідні до реакцій досліджуваного КЗ на тестові полігармонічні впливи з різними амплітудами.

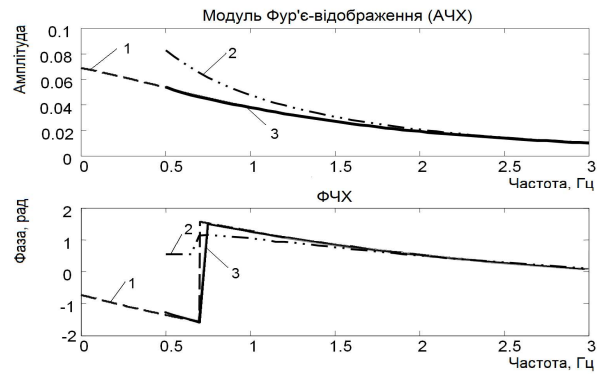


Рисунок 2: Піддіагональні перетини АЧХ та ФЧХ другого порядку для тестового об'єкту: значення, отримані за допомогою аналітичних виразів (1), значення оцінки перетину з $N=2$ (2), $N=4$ (3)

В експериментальних дослідженнях були використані дві ідентичні УКХ-радіостанції S.P.RADIO A/S, RT2048VHF (діапазон робочих частот 154,4–163,75 МГц) та IBM PC-сумісний комп'ютер зі звуковими картами Creative Audigy 4. Послідовно визначались АЧХ першого та другого порядку. Була обрана кількість експериментів для даного методу ідентифікації $N=4$. Структурні схеми процедури ідентифікації – визначення АЧХ першого та другого порядку для КЗ відповідно на рис. 3 та 4.

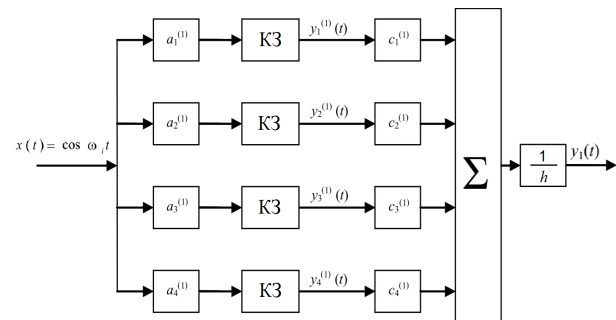


Рисунок 3: Структурна схема ідентифікації з використанням моделі Вольтерра 1^{го} порядку в частотній області, кількість експериментів $N=4$: $a_1=-2h$, $a_2=-h$, $a_3=h$, $a_4=2h$; $c_1=-1/12$, $c_2=-2/3$, $c_3=2/3$, $c_4=1/12$.

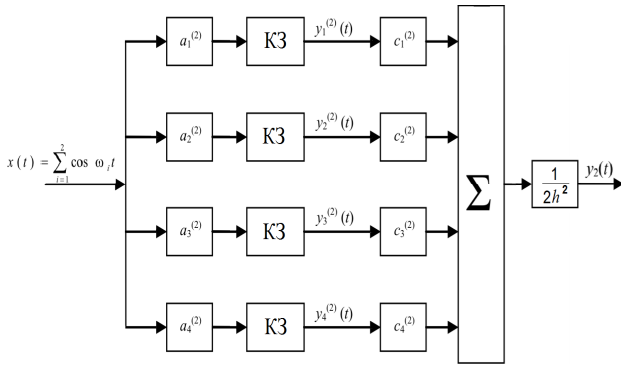


Рисунок 4: Структурна схема ідентифікації з використанням моделі Вольтерра 2го порядку в частотній області, кількість експериментів $N=4$: $a_1=-2h$, $a_2=-h$, $a_3=h$, $a_4=2h$; $c_1=1/12$, $c_2=4/3$, $c_3=4/3$, $c_4=-1/12$.

Відгуки КЗ $y[a_i x(t)]$ на тестові сигнали $a_i x(t)$ складають групу сигналів, кількість яких співпадає з кількістю проведених експериментів для кожної точки характеристики N ($N=4$, рис. 5). У кожній наступній групі частота сигналів збільшується на величину обраного у програмі кроку.

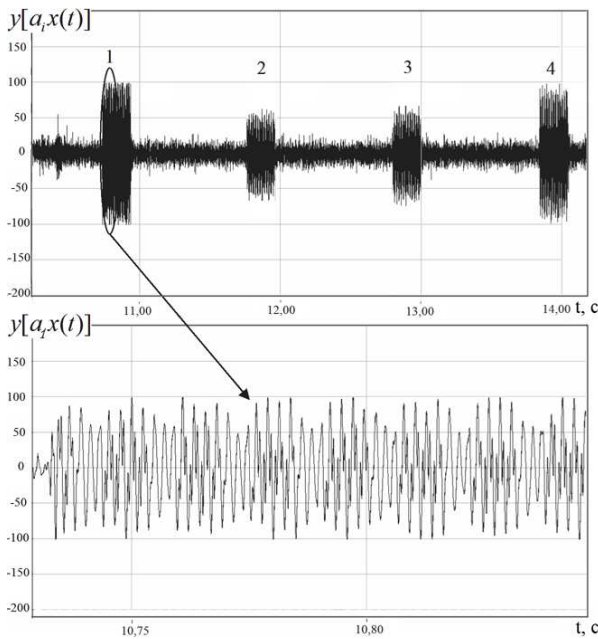


Рисунок 5: Група сигналів, яка була прийнята з КЗ, амплітуди: -1 (1); $-1/2$ (2); $1/2$ (3); 1 (4); $N=4$

Максимальна амплітуда, яка була використана під час експерименту зі звуковими картами $A=0,25V$ (було визначено експериментально). Використовуваний діапазон частот визначався смугою пропускання звукової карти $20\dots20000$ Гц, згідно з паспортними даними виробника. Частоти тестових сигналів вибиралися із цього діапазону з урахуванням обмежень [7]. Для проведення експерименту були обрані наступні значення параметрів: початкова частота $f_s=125$ Гц; кінцева частота $f_e=3125$ Гц; крок змінювання частоти $\Delta f=125$ Гц; для визначення АЧХ

другого порядку зсув між частотами $\delta f=f_2-f_1$ поступово збільшувався з 201 до 3401 Гц з кроком 100 Гц.

З прийнятих сигналів – відгуків кожної групи формувалась виважена сума $y_1(t)$ та $y_2(t)$ (рис. 3 та 4). При $n=1$ і $n=2$ отримуємо парціальну складову відгуку КЗ $y_1(t)$ і $y_2(t)$ відповідно. Для кожної парціальної складової відгуку знаходиться перетворення Фур'є (використовується швидке перетворення Фур'є) і з отриманих спектрів виділяються тільки інформативні гармоніки, амплітуди яких являють собою значення шуканих характеристик АЧХ першого й другого порядків.

АЧХ першого порядку $|W_1(j2\pi f)|$ отримана, виділяючи в спектрі парціальної складової відгуку КЗ $y_1(t)$ на тестовий сигнал $x(t)=A/2(\cos 2\pi f t)$ гармоніку із частотою f .

АЧХ другого порядку $|W_2(j2\pi f_1, j2\pi(f+\delta f))|$, де $f_1=f$ та $f_2=f+\delta f$ отримана шляхом виділення гармонічних складових з сумарною частотою f_1+f_2 з спектру парціального відгуку КЗ $y_2(t)$ на тестовий сигнал $x(t)=(A/2)(\cos 2\pi f_1 t + \cos 2\pi f_2 t)$.

Для згладжування вихідних даних експерименту використовувалось вейвлет-шумозниження [9]. Результати, які були отримані після цифрової обробки даних експериментів ("Coiflet" вейвлет-шумозниження) для АЧХ першого та другого порядків, представлені на рис. 6–8.

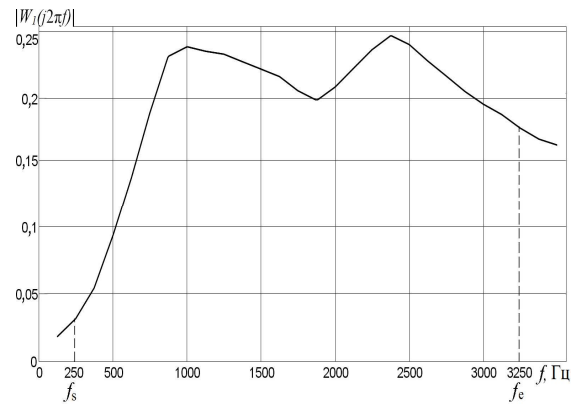


Рисунок 6: АЧХ першого порядку після процедури вейвлет-шумозниження "Coiflet" 2^{го} рівня

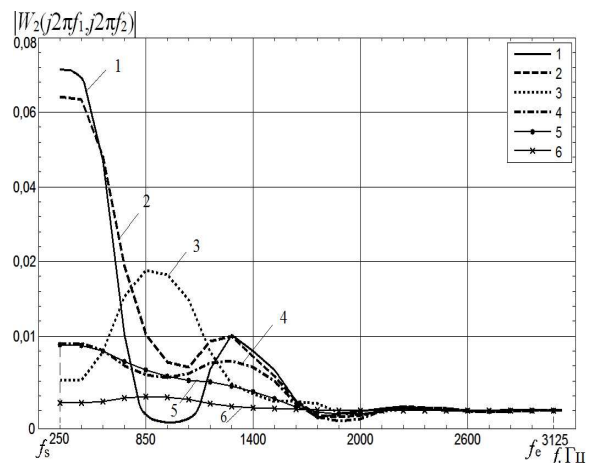


Рисунок 7: Піддіагональні перетини АЧХ другого порядку після процедури вейвлет-шумозниження

“Coiflet” 2^{го} рівня на різних тестових частотах: 201 (1), 401 (2), 601 (3), 801 (4), 1001 (5), 1401 (6) Гц

Поверхню, зображену на рис. 8, побудовано з піддіагональних перетинів, які було отримано з серій послідовних експериментів з різними величинами зсуву δf між тестовими частотами полігармонічного сигналу.

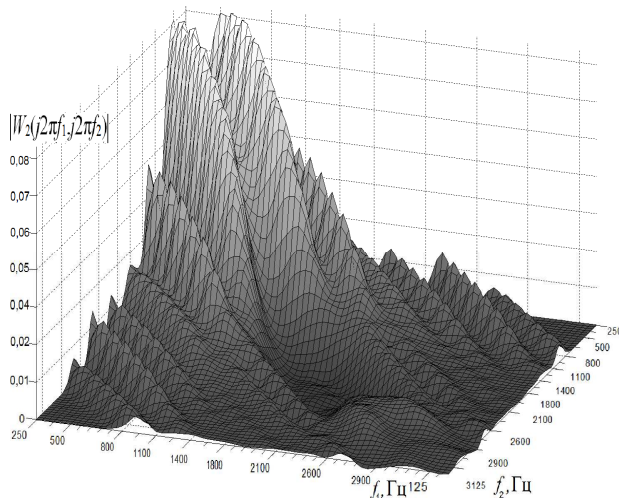


Рисунок 8: Поверхня, побудована з серій АЧХ другого порядку після процедури вейвлет-шумозниження “Coiflet” 3^{го} рівня

4. Висновок

Проаналізовано метод ідентифікації нелінійних динамічних систем, який базується на моделі Вольтерра з використанням полігармонічних тестових сигналів. Для виділення відгуків об'єкту на парціальні складові використано метод, який базується на композиції лінійних відгуків на тестові сигнали з різними амплітудами.

Було визначено нові значення амплітуд тестових сигналів і вони значно підвищують точність ідентифікації у порівнянні з амплітудами і коефіцієнтами, які використовувались у [10]. Точність ідентифікації нелінійної частини для тестового об'єкту виросла майже у 10 разів, середньоквадратична похибка отриманих характеристик відносно аналітично отриманих виразів не перебільшує 5%.

Для побудови інформаційної моделі Вольтерра у вигляді АЧХ першого та другого порядку для радіоканалу УКХ-діапазону використовувалась апаратна схема, яка була описана у [4] та новий інтерполяційний метод ідентифікації.

Отримані результати показують значну нелінійність КЗ і це призводить до пошкоджень сигналів у пристроях передавання даних, знижують важливі показники телекомунікаційних систем: точність відтворення сигналів, пропускну здатність каналу, шумозахищеність.

5. Література

[1] Giannakis, G.B. and Serpedin, E. “A bibliography on nonlinear system identification and its applications in signal processing, communications and biomedical engineering”, *Signal Processing – EURASIP, Elsevier Science B.V.*, 81(3): 533-580, 2001.

[2] Westwick, D.T. *Methods for the Identification of Multiple-Input Nonlinear Systems*, Departments of Electrical Engineering and Biomedical Engineering, McGill University, Montreal, Quebec, Canada, 1995.

[3] Doyle, F.J, Pearson, R.K., Ogunnaik, B.A. *Identification and Control Using Volterra Models*. Published Springer Technology & Industrial Arts, p. 314, 2001.

[4] Pavlenko, V.D. and Speransky, V.O. “Identification of Nonlinear Dynamical Systems Using Volterra Model with Interpolation Method in Frequency Domain”, *Electrotechic and Computer Systems*. – 2012. – № 05 (81). – p. 229–234.

[5] Schetzen, M. *The Volterra and Wiener Theories of Nonlinear Systems*. Wiley & Sons, New York, 1980.

[6] Павленко, В.Д., Сперанский, В.А. “Автоматизированная система контроля каналов связи телекоммуникационных систем” – В сб.: “Передовые информационные технологии, средства и системы автоматизации и их внедрение на российских предприятиях”: Труды международной научно-практической конференции, Москва, 4–8 апреля 2011 г. – М.: Институт проблем управления им. В.А. Трапезникова РАН, 2011. – С. 1023.

[7] Павленко, В.Д., Исса, С.И.М., “Ограничения выбора частот тестовых полигармонических сигналов для идентификации нелинейной системы”, *Тр. Одес. политехн. ун-та*. — Одесса, 2009.—Вып. 1 (31). — С. 107 — 113.

[8] Pavlenko, V.D., Speransky, V.O., Pyin, V.I., Lomovoy, V.I., “Modified Approximation Method for Identification of Nonlinear Systems Using Volterra Models in Frequency Domain”, *Proceedings of the 6th WSEAS International Conference on Circuits, Systems, Signal and Telecommunications. Harvard, Cambridge, USA. January 25-27, 2012*. - Published by WSEAS Press, 2012. P. 423-428

[9] Goswami, J.G. and Chan., A.K., *Fundamentals of Wavelets: Theory, Algorithms, and Applications*, Publishing John Wiley&Sons, Inc., p. 447, 1999.

[10] Данилов, Л.В., Матханов, П.Н., Филиппов, Е.С.. *Теория нелинейных электрических цепей*, Л.: Энергоатомиздат, 1990. – 256 с.